

С НазРОД



1876

1977

NaNO_3 ; Na_3PO_4 ; NaH_2PO_4 ; $\text{NaNH}_4\text{HPO}_4$

KNa_2PO_4 ; s, cr ΔHf°

Berthelot and Louguinine
Ann.chim.phys. 9, 23, 1876

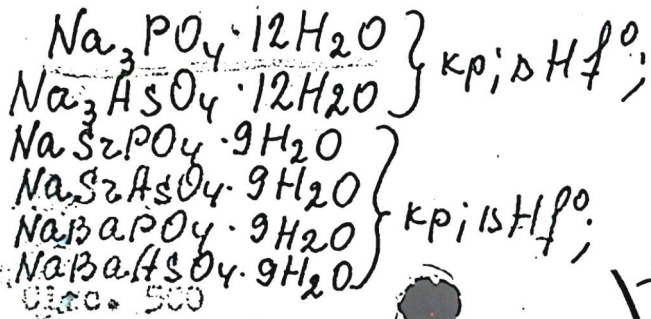
W, M

2070

3037

JULY

S. Goppert-Arndt-Zent., 3702 (3037)



guy, M, B 5



~~der Q.K~~

✓ QP

Na_3PO_4

Bq - 5511-III

1909

Mixter W. G.

(4Hf)

"Am. J. Sci"

1909, 28 M103-111

808 - X - BP

1949

Na₃PO₄·6H₂O, Na₃PO₄·8H₂O (Tm)

Bell R.N.

Ind. Eng. Chem. 1949, 41, 2901-2905

Hydrates of trisodium ...

Be

если ф.к

806 - X - ВР

1956

K_3PO_4 , Na_3PO_4 (Th.)

Палкин А.Н., Остроумов В.В.

Тр. Воронежск. ун-та, 1956, 40, 3-10

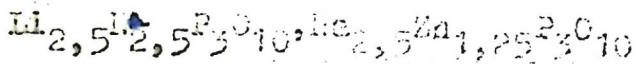
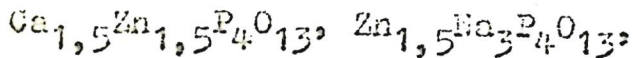
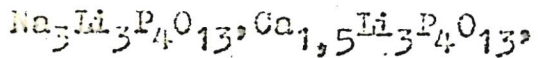
Взаимодействие в системе ...

Be

лесо д/к

W3Y/1963

IX 1434



(dissol in HCl, mix)

Meadowcroft T.R., Richardson F.D.

Trans. Faraday Soc., 1963, 59(487)

1564-71

Heats of formation of some ...

4 M

6.2

(P_2O_5 , ZnO , $Zn_3(PO_4)_2$, $Zn_2P_2O_7$, $Zn(PO_3)_3$,
 $Zn_5(P_3O_{10})_2$, $Zn_3P_4O_{13}$, $Ca_3(PO_4)_2$, $Ca_2P_2O_7$,
 $Ca_3P_4O_{13}$, $Ca(PO_3)_2$, $CaCO_3$, Li_3PO_4 , $Li_4P_2O_7$,
 $LiPO_3$, $Li_5P_3O_{10}$, $Li_6P_4O_{13}$, Li_2CO_3 , Na_3PO_4 ,
 $Na_4P_2O_7$, $NaPO_3$, $Na_5P_3O_{10}$, $Na_6P_4O_{13}$, Na_2CO_3
(ΔH_f , ΔH_{sol} in HCl)

Naz GOY

[BGP 3514-X]

1965

Lebeca M. G. n sp

Mgb. Socorro. yrs. gab. Ximenes,
a Ximenes. Mexicanoensis, 1965,
8, NL, 3-10

(T_m , T_u)

NaH_2PO_4 , Na_2HPO_4 , Na_3PO_4 , $\text{Na}_2\text{H}_2\text{P}_2\text{O}_7$, 11 1967

$\text{Na}_4\text{P}_2\text{O}_7$, $\text{Na}_3\text{P}_3\text{O}_9$, $\text{Na}_5\text{P}_3\text{O}_{10} \cdot 6\text{H}_2\text{O}$, $\text{Na}_5\text{P}_3\text{O}_{10} (\text{P}, \text{S})$

X-5540

Andon R. J.L., Counsell J.F., Martin J.P.,
Mash C.J.

J. Phys. Chem., 1967, 17, N3, 65-70 (accn.)

Thermodynamic properties of phosphorus compounds.
I. Low-temperature heat capacity and entropy of
sodium mono-, di, and tri-phosphates

PHILIPS, 1968.

S-6683

5 (c) EEFB Q.K

Na_3PO_4 ($\text{P}_{\text{бр}}$)

X-6196

1967

Буханова Т.А., Маргареева Г.В.,

дл. Несколько лет, 1967, 12(10), 2825-8

Обработка супеси фторфосфатом и
формальдегидом методом.

Б (9)

СА, 1968, 68, № 14, 63285 в

u X-5947

NaH_2PO_4 , Na_2HPO_4 , Na_3PO_4 (DHF)

1967

Irving R. J., McKersie H.

Trans. Faraday Soc., 1967, 63, N12, 2913-2916 (au.)

Standard heats of formation of NaH_2PO_4 ,
 Na_2HPO_4 and Na_3PO_4 ,

3

M(?)

P14 Rev., 1968

225834

Na_2BeF_4 , Na_3PO_4 (T_m , T_f) $\rightarrow \text{X}-6284$ 1967

Лебедко И. Е., Задоренко К. Б.; 5

Володчина А. В.

Зефир. Моск. ун-та. Учен. ..., 1967, №, 116-118

Использование эпоксидного метода гн

Уточнение гетерогенных состояний систем
 $Na_2BeF_4 - Na_3PO_4$.

лит Орл.

РНХ. 1968

25686

5

Б (9)

Na_3PO_4

Вр - 5196 - X

1967

Д 7 Е293. Фазовые превращения нормального фосфата натрия (Na_3PO_4). Левина М. Е., Володина А. В. «Вести. Моск. ун-та. Химия», 1967, № 1, 49—52

Термическим, рентгеновским и методом измерения истинной теплоемкости изучены фазовые превращения Na_3PO_4 в интервале т-р 150—550° С. Установлено, что фазовый переход $\gamma\text{-Na}_3\text{PO}_4$ в $\beta\text{-Na}_3\text{PO}_4$ при т-ре 233° С относится к монотропным превращениям, а фазовые переходы β в α^1 - и $\alpha\text{-Na}_3\text{PO}_4$ являются энантиотропными превращениями. Все фазовые переходы Na_3PO_4 сопровождаются тепловым эффектом и относятся к превращениям первого рода.

Автореферат

C_p
T_{t2}

09. 1967. 78

Na₃PO₄

119518c Phase changes of normal sodium phosphate (Na_3PO_4). M. E. Levina and A. V. Volodina. *Vestn. Mosk. Univ., Ser. II* 22(1), 49-52(1967)(Russ). The initial phosphate was obtained by dehydration of $\text{Na}_3\text{PO}_4 \cdot 12\text{H}_2\text{O}$ at 200° to const. wt. The phase transformations were studied by thermal, x-ray, and C_p (the true heat capacity) methods. D.T.A. indicates weak thermal effects at 240 and 420° and a stronger one at 325° . All 3 points appear distinctly in the C_p method. This method (CA 46, 3385h; 60, 7517e) consists of continuously transferring definite amts. of heat to a ferroelec. compd. and subsequent measuring of the time intervals necessary for temp. increase in the range of the practically const. C_p . The heat of the phase transformation and the corresponding entropy variations were calcd. from the C_p data. The heat of the monotropic transformation $\gamma \text{Na}_3\text{PO}_4 \rightarrow \beta \text{Na}_3\text{PO}_4$ at 233° is 640 cal./mole; those of the enantiotropic transformations β into the α' form at 332° and α' into α at 420° are 2985 and 445 kcal./mole, resp. The corresponding variations of the entropy are 1.26, 5.02, and 0.64 cal./mole-degree, resp.

Aniela Klein

5/1968

C_p DHtr.

C.F. 1968-06-26

Na_3PO_4 , K_3PO_4 , Cs_3PO_4 (T_{dr}) \rightarrow 1968/6
 $\bar{x} 4091$

Бухалова Т.А., Мардиресова Н.В.,

Чуб. Власиц. Грибк. Забег. Чим. и др.

Технол. , 1968, 11(8), 855-60.

Образование синтетических органических
и хлоридных полимеров

Б/п 6 · CA, 1969, 20, N 4, 14859

Na₃PO₄
3

Na₄P₂O₇
4

T_m

X · 1971

Na- фосфаты 1970

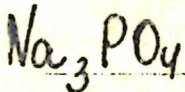
4 Б905. Диаграмма плавкости системы ортофосфат натрия — пирофосфат натрия. Osterheld R. K., Ванг E. W. Liquidus diagram for the sodium orthophosphate—sodium pyrophosphate system. «J. Inorg. and Nucl. Chem.», 1970, 32, № 8, 2539—2541 (аангл.)

Методом термич. анализа и высокот-рной микроскопии была изучена плавкость в системе Na_3PO_4 — $\text{Na}_4\text{P}_2\text{O}_7$ и построена диаграмма ликвидуса. Система является простой, эвтектич. типа. Эвтектич. точка соответствует содержанию $\text{Na}_4\text{P}_2\text{O}_7$ 67,6 мол.% и т. пл. 952°. Na_3PO_4 и $\text{Na}_4\text{P}_2\text{O}_7$ плавятся при 1512° и 998° соответственно.

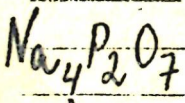
И. Лепешков

Бар-

1970



B92-4964-X



59648c Liquiaus diagram for the sodium orthophosphate-sodium pyrophosphate system. Osterheld, R. Keith; Bahr, E. W. (Dep. of Chem., Univ. of Montana, Missoula, Mont.). *J. Inorg. Nucl. Chem.* 1970, 32(8), 2539-41 (Eng). The Na_3PO_4 - $\text{Na}_4\text{P}_2\text{O}_7$ system was studied by thermal anal. and high temp. microscopy. The system has a eutectic at 67.6 mole % $\text{Na}_4\text{P}_2\text{O}_7$ and 952°. Na_3PO_4 and $\text{Na}_4\text{P}_2\text{O}_7$ m. 1512° and 998°, resp.

RCJX

Pm

C.A.1970 73.12

Na₃PO₄

1971

41254c Thermodynamic properties of potassium phosphates.
V. Enthalpy of formation of sodium and potassium phosphates
and phosphoric acids. Kogan, B. S. (Ural. Politekh. Inst.,
Sverdlovsk, USSR). Zh. Fiz. Khim. 1971, 45(3), 723 (Russ).
This is an abstr. of work on deposit at and available from: VIN-
ITI, ul. Baltiiskaya, 14, Moscow A-219, U.S.S.R. The enthalpy
of formation of the cryst. phosphates of Na and K and of the
phosphoric acids were calcd. by approx. methods; the results
were tabulated.

ΔHf

(42)

C.A. 1971.75 6



Na_3AsO_4 , Na_3PO_4 ($T_{\text{d}2}$) 1971
10 15313

Palazzi M., Rémy F., Gérard H.

C. r. Acad. sci., 1921, C.272, 1812, 11271129 (Франц.)

Химико-структурный Na_3AsO_4 и Na_3PO_4 :

Рентгеноспектральное исследование

Фаз, образующихся при разложении

изоморфных пар,

серб. Д. К.

Philadelph. 1971.

165464

Mu 5 ④ 8

Na_3AsO_4 , Na_3PO_4 (T_{cr}) 10 1971
X 6735

Palazzi M., Remy F.

Bull. Soc. chim. France, 1971, N.B. 2735-2793

(опис.)

Тетраизобофуран безводные оттенки "

фосфата кальция, Na_3AsO_4 и Na_3PO_4 .

Рентгенографическое исследование

РИИХИМ, 1972

55559

○

85 еслб 00.к.
cb

30828.6115

Ch, Ph, TE

Na_3PO_4

34473

23-1563

1553

Kanungo S.B.

BP-8-7833

Thermodynamics of the formation of

Na_2SiO_3 , NaAlO_2 , $\text{Na}_2\text{Fe}_2\text{O}_4$ and Na_3PO_4 at
higher temperatures.

"Indian J. Technol.", 1972, 10, N12, 443-
446 (англ.)

(см. Na_2SiO_3 ; 7)

0950 ник

934 934 09 4 9

ВИНИТИ

30725.8392

Ex-Ch/XHE-Z,

TE, Ca

Na₃PO₄ B9P-7835-X

(Tm)

41273

21-1165

Osterheld R.K., Hawthorne J.D.

Liquidus diagram for the sodium ortho-phosphate - lead orthophosphate system.

"J. Solid State Chem.", 1973, 7, N 1,

106-108

(анн.)

(см. Na₂PO₄; T)

0923 пись

906 907 9 T 6

ВИНИТИ

$\text{Al}_2(\text{SO}_4)_3 \cdot 18\text{H}_2\text{O}; \text{f}(\Delta H_f, \Delta G_f, S)$ 1974
 $\text{Na}_3\text{PO}_4 \cdot 12\text{H}_2\text{O}$ X-9021

Лобаков В.И., Малошук В.В.

В.Д. „Термодинамика и строение
расстворов“. Вн.н.2. Иваново, 1974, 151-154

Электрохимических определение основных
термодинамических констант кристалло-
шариков сульфатов алюминия и ортофос-
фатов калия.

РНХУИ, 1975.

145823

M Q Руческ

№ 3 РО₄ 4 Б467. Диморфизм тринатрийfosфата. Маиг А. Д.
Dimorphism of trisodium phosphate. «N. Z. J. Sci.», 1976,
19, № 1, 61—67 (англ.) 1876

Проведено рентгенографич. исследование (дифрактометрич. метод порошка, λ Си) низкот-рной (I) и высокот-рной (II) модификаций Na₃PO₄, к-рый является основным промежут. продуктом в процессе щел. экстракции «С»-фосфата с острова Рождества. Параметры решетки: I тетрагон., a 10,81, c 6,84 Å, ρ (изм.) 2,70, ρ (выч.) 2,725, ф. гр. вероятно $P42_1c$, $Z=8$; II кубич., a 7,41 Å, ρ (выч.) 2,677, ф. гр. в 1-м приближении $F\bar{4}3m$, $Z=4$. С помощью съемки при высокой т-ре (до 360°) показано, что при 300° II быстро и обратимо переходит в I, переход относится к типу деформации. Структура I построена по типу β -кристобалита, $x_{(O)}=0,16$. Обсуждается вопрос о возможности статистич. распределения одного из атомов Na и P по более общим позициям 48(h) и 96(i). При нагревании Na₃PO₄ взаимодействует с Na₂CO₃ (III) и Na₂SO₄ (IV). При конц-иях, превышающих соотв. 3,8 и 3,6 мол.%, образуются тв. р-ры (TP) на основе II, причем в случае III параметр a уменьшается, а для IV увеличивается с увеличением конц-ии примеси. Изучение пром. экстрактов, богатых щелочью, показало, что кубич. TP обра-

Tr

λ. 1877

1/4

зуются и при внедрении Na_2O , параметр a при этом уменьшается. Образование ТР приводит к стабилизации II при коми. т-ре Дегидратация (Д) $\text{Na}_3\text{PO}_4 \cdot x \text{NaOH} \cdot 12\text{H}_2\text{O}$ (V) в основном протекает при 60—120° с образованием $\text{Na}_3\text{PO}_4 \cdot 1/2\text{H}_2\text{O}$ (VI), к-рый при 180° превращается в I. В тонких Пл на Пв маленьких кристаллов образуется метастабильная II при низких т-рах, однако при нагревании до 200° происходит необратимый переход в I. Автор полагает, что два обнаруженных пути Д связаны с различным эффективным давл. вод. паров. Д синтетич. соли $2\text{Na}_3\text{PO}_4 \cdot \text{NaF} \cdot 19\text{H}_2\text{O}$ (VII), близкой по составу к минералу натрофосфату, сопровождается выделением NaF и протекает аналогично описанному для V. При взаимодействии VII с Na_2CO_3 , а также NaF с Na_3PO_4 в присутствии 13,8 мол.% Na_2CO_3 не обнаружено ТР на основе II, содержащих NaF. Высказаны нек-рые предположения о строении фторапатитов. Приведены I, $d(hkl)$ для порошкограмм I, II, VI и $\text{Na}_3\text{PO}_4 \cdot n\text{H}_2\text{O}$, где $n=6$ и 8.

З. А. Старикова

Na_3PO_4

ommited 7872

1978

(ΔH soln.)

Miller F. J. et al.

J. Solution Chem.

1978, 7 (12), 877-89.

$\text{Na}_4\text{P}_2\text{O}_7$

BX-1205

1948

Na_3PO_4

Li_3PO_4

(113)

88: 111400s Thermodynamics of evaporation of sodium pyrophosphate and sodium and lithium orthophosphates. Steblevskii, A. V.; Alikhanyan, A. S.; Sokolova, I. D.; Gorgoraki, V. I. (Inst. Obshch. Neorg. Khim. im. Kurnakova, Moscow, USSR). *Zh. Neorg. Khim.* 1978, 23(2), 309-15 (Russ). The sublimation of $\text{Na}_4\text{P}_2\text{O}_7$ [7722-88-5] and M_3PO_4 ($\text{M} = \text{Na}, \text{Li}$) was studied by Knudsen effusion method and mass spectral anal. $\text{Na}_4\text{P}_2\text{O}_7$ sublimes incongruently, whereas M_3PO_4 sublimes congruently in agreement with $\text{M}_3\text{PO}_4(\text{s}) = 2\text{M}(\text{g}) + \text{MPO}_3(\text{g}) + 0.5 \text{ O}_2$. The partial pressures of satd.-vapor components are presented. From temp. dependence of the ion current intensities, the calcd. heats of sublimation of Li_3PO_4 [10377-52-3] and Na_3PO_4 [7601-54-9] are 336.4 ± 7.5 and 285.2 ± 7.0 kcal/mol. resp.

(+2)

C.A. 1978, 88, 116

1978

$\text{Na}_4\text{P}_2\text{O}_7$
 Na_3PO_4
 Li_3PO_4

12 Б856. Термодинамика процессов испарения пи-
рофосфата натрия и ортофосфатов натрия и лития.
Стеблевский А. В., Алиханян А. С., Соко-
лова И. Д., Горгораки В. И. «Ж. неорган. химии»,
1978, 23, № 2, 309—315

Методом Кнудсена с масс-спектрометрич. регистра-
цией исследованы процессы испарения $\text{Na}_4\text{P}_2\text{O}_7$ (I),
 Na_3PO_4 (II) и Li_3PO_4 (III) из платиновой эффузионной
камеры. Установлено, что II и III испаряются конгру-
энтно согласно р-ции $\text{M}_3\text{PO}_4 = 2\text{M}_{\text{г}} + \text{MPO}_{3\text{г}} + 1/2\text{O}_2$.
Расшифровка масс-спектра I и установление парц. давл.
проводилось методом полного испарения, причем I
рассматривался как двухкомпонентная система:
 $\text{NaPO}_3 - \text{Na}_2\text{O}$. Из т-рных зависимостей ионных токов
найдены теплоты субл. II и III: $336,4 \pm 7,5$ ккал/моль
и $285,2 \pm 7,0$ ккал/моль соотв. при 298 К. В. В. Чепик

дНеудл.

(+1)

Х, 1978, № 12

$\text{Na}_3\text{PO}_4 \cdot 10\text{H}_2\text{O}$

1978

Stunić Z. et al.

Kem. u ind., 1978, 24, ~12,
661-665.

T_{m_1}

($\text{CuCl}_2 \cdot 4\text{H}_2\text{O}$; I)

Na_3PO_4

1979

Newman J. H. et al.

(T_{tz})

Fast Ion Transp. Solids,
Electrodes and Electro-
lytes. Proc. Int. Conf., Lake
Geneva, Wisc., 1979. New
York e. a., 1979, 435-437.
(crys. Ag_3PO_4 ; I).

Na_3PO_4

1949

Preston C.M., Adams W.A.

slaqueous.

J. Phys. Chem., 1949, 83(7),
814-21.

(corr. K_3PO_4) I

Na₃PO₄

1980

24 Б474. Na₃PO₄: кристаллическая структура низкотемпературной формы; образование твердых растворов с Na₂SO₄. Jansen M., Wiench D. Na₃PO₄: Kristallstruktur der Tieftemperaturform; Mischkristallbildung mit Na₂SO₄. «2. Vortragstag. Ges. Dtsch. Chem. Fachgruppe Festkörperchem., Stuttgart, 1980. Kurzref». S. I., s. a., 6. (нем.)

Взаимодействием Na₂O с Na₂P₂O₇ получен Na₃PO₄ (I), при 325° претерпевающий обратимый фазовый переход I рода из трикл. в высокотрнную (ВТ) кубич. форму. Гидротермальным методом получены кристаллы низкотрнного (НТ) I, $a = 11,842$, $b = 10,611$, $c = 10,296$ Å, $\alpha = 89,7^\circ$, $\beta = 102,8^\circ$, $\gamma = 101,6^\circ$, $Z = 12$, ф. гр. P1. Матрица преобразования ячеек ВТ в НТ форму: (0, 0, 2/3; 1/2, 1/2, 1/6; -1/2, 1/2, 1/6). Атомы Na занимают все «октаэдрич.» и «тетраэдрич.» пустоты в кубич. плотнейшей упаковке из тетраэдров PO₄. Структура ВТ I позволяет входить до 20—70 мол. % Na₂SO₄. В. А. Ефремов

X. 1981, 19, N 24.

Na₃PO₄·12H₂O

1980

20 Б988. Кристаллизация фосфата натрия. Sy nowiecz Jerzy, Nývlt Jaroslav, Wurgzelová Jiřina. Krystalizace fosforečnanu sodného. «Chem. prům.», 1980, 30, № 3, 121—124 (чеш.; рез. англ.)

Кристаллиз.
из водн. р-ра

Исследована массовая кристаллизация Na₃PO₄·12H₂O из водн. р-ров. Определены значения р-римости и ширина метастабильной области. Найденное распределение кристаллов по размерам в пром. кристаллизаторе использовано для изучения кинетики роста кристаллов и кинетики образования зародышей. По резюме

Радк Над

Na₃PO₄

1980

16 Б436. О Na₃PO₄: исследование условий синтеза, кристаллическая структура высокотемпературной модификации. Wiench D. M., Jansen M. Über Na₃PO₄: Versuche zur Reindarstellung, Kristallstruktur der Hochtemperaturform. «Z. Anorg. und allg. Chem.», 1980, 461, № 2, 101—108 (нем.; рез. англ.)

Изучены возможные пути синтеза Na₃PO₄ (I) путем твердофазных р-ций: 3Na₂O + (NaPO₃) → I, 3Na₂O + P₂O₅ → 2 I, Na₂HPO₄ + Na → I + 1/2H₂, Na₂O + Na₄P₂O₇ → 2 I. В интервале т-р 25—800° проведено изучение I методом ДТА. При 325° I претерпевает обратимый фазовый переход первого рода: низкот-рная модификация (Ia) ⇌ высокот-рная модификация (Ib). Проведено рентгеноструктурное исследование (автоматич. дифрактометр, 68 рефлексов, анизотропное приближение, R = 0,043) кристаллов Ib, полученных закалкой с 1300°. Кристаллы Ib кубич., a 7,423 Å, Z = 4, ф. гр. Fm3m. Ib кристаллизуется в структурном типе родственном Li₃Bi,

(T_{tr})

Х 1980 N 16

причем позиции Li соответствуют идеальным Na — позициям, а позиции Ві — позициям РО₄. Анионы РО₄ ориентационно разупорядочены: предпочтительное направление тройных осей в РО₄-группировках не удалось установить. Предприняты попытки объяснения на основе структурных данных невозможности получения I в аналитически чистой форме.

В. Б. Калинин

Na_3PO_4

1980

92: 190485g Sodium phosphate: experiments on purification and crystal structure of the high-temperature form; Wiench, D. M.; Jansen, M. (Inat. Anorg. Anal. Chem., Univ. Giessen, D-6300 Giessen, Fed. Rep. Ger.). *Z. Anorg. Allg. Chem.* 1980, 461, 101-8 (Ger). The prepn. of Na_3PO_4 by the solid-state reactions, $\text{Na}_2\text{O} + (\text{NaPO}_3)_2$, $\text{Na}_2\text{O} + \text{P}_2\text{O}_5$, $\text{Na}_2\text{HPO}_4 + \text{Na}$, and $\text{Na}_2\text{O} + \text{Na}_4\text{P}_2\text{O}_7$, was studied. Two modifications exist according to DTA and x-ray diffraction data. The phase transition is 1st-order and occurs reversibly at 325° . The high-temp. modification is cubic, space group *Fm3m*, with a 742.3 pm; it contains disordered PO_4^{3-} anions.

(Tr)

CA 1980 92 n22

1984

 $\beta - Na_3PO_4$

14 Б3197. Изучение разупорядочения фазы β - Na_3PO_4 с помощью электронного парамагнитного резонанса. Etude du phénomène-désordre de la phase Na_3PO_4 - β par résonnance paramagnétique électronique. Kolssi A. W., Livage J., Quarton M. «J. soc. chim. Tunis.», 1984, № 12, 47—50 (фр.)

С помощью метода ЭПР сделана попытка изучения перехода порядок—беспорядок фазы β - Na_3PO_4 , стабилизированной добавкой Ca, при 256° С. Образцы упорядоченной тетрагональной формы и разупорядоченной кубической формы β - Na_3PO_4 получены спеканием при 1000° С смесей Na_3PO_4 , $Ca_3(PO_4)_2$ (1,5 мол. %) и $Cu_3(PO_4)_2$ (0,5 мол. %); тетрагональная форма получена медленным охлаждением (50°/ч.), а кубическая форма — закалкой. Парамагнитные ионы Cu^{2+} не влияют на характеристику решетки и введены в качестве индикатора при ЭПР. Показано, что двухвалентные катионы стабилизирующей добавки занимают октаэдрические позиции, вытянутые вдоль оси z. Переход у β - Na_3PO_4 не определяется стабилизирующими катионами и требует дальнейшего изучения (желательно на монокристаллах). Л. В. Шведов

x. 1985, 19, N 14

Na₃PO₄

1985

18 Б3183. Na₃PO₄, легированный Zr: кристаллохимия, фазовые соотношения и полиморфизм. Zr-Doped Na₃PO₄: crystal chemistry, phase relations, and polymorphism. Milne S. I., West A. R. «J. Solid State Chem.», 1985, 57, № 2, 166—177 (англ.)

Исследованы полиморфные превращения, кристаллохимия и термич. стабильность фаз в системе Na_{9-4y}Zr_y(PO₄)₃. Исследования проводились в интервале $y=0-2$ при т-рах 200—1400° С методами оптич. поляризаци. микроскопии, РФА, ДСК, ДТА и ТГА. Установлено, что Na₃PO₄ образует с Zr непрерывный ряд тв. р-ров по механизму замещения $4\text{Na}^{1+}\rightleftharpoons\text{Zr}^{4+}$. Область существования тв. р-ров при т-рах ниже 800° С соответствует $J \geq 0,5$, а при т-рах 800—1150° С J увеличивается до 0,56. Высокот-ные р-ры имеют СТ γ-Na₃PO₄. При снижении т-ры с ростом y в рассматриваемой системе происходят различные процессы упорядочения. В области $0,125 \leq J \leq 0,40$ образуется упорядоченная фаза Yord

*полимерн.
превращ.*

X. 1985, 19, N 18.

с кубич. сверхструктурой, параметр решетки a к-рой в 2 раза превосходит a субструктуры и составляет 14,856 Å. При $J \geq 0,4$ происходит формирование фаз δ и δ' , характеризующихся расщеплением имеющихся и появлением дополнит. слабых рентгеновских линий. Показано, что γ_{ord} имеет доменную структуру, причем размеры доменов уменьшаются с увеличением т-ры и снижением J . Сформулирована модель образования γ_{ord} , предполагающая упорядочение ионов Zr^{4+} в изменяющихся кубич. подрешетках. Выявлены особенности и обсуждены механизмы др. фазовых переходов в рассматриваемой системе. Представлена часть ее фазовой диаграммы, соотв. изученному интервалу т-р и составов.

Б. Е. Смирнов

стн
биль

Na₃PO₄

1990

24 Б2017. Определение кристаллической структуры $T\text{-Na}_3\text{PO}_4$ методами порошковой рентгенографии и нейтронографии. Bestimmung der Kristallstruktur von $T\text{-Na}_3\text{PO}_4$ mit Röntgen- und Neutronenpulvertechniken / Lissel E., Jansen M., Jansen E., Will G. // Z. Kristallogr. — 1990. — 192, № 3—4.— С. 233—243.— Нем., рез. англ.

Проведено рентгенографич. (метод порошка $\lambda\text{CuK}_{\alpha}$, профильный метод, R_I 0,041, R_{wp} 0,086) и нейтроно-

*Кристал
структура*

X. 1991, N 24

графич. (метод порошка, профильный метод, R_I 0,080, R_{wp} 0,113) изучение строения низког-рной (T_c 601 К) модификации Na_3PO_4 (I), полученной из эквимол. смеси Na_2CO_3 и $\text{Na}_4\text{P}_2\text{O}_7$ или Na_2O и $\text{Na}_4\text{P}_2\text{O}_7$ при 950 К в Ag-тигле. Для тетрагон. I из рентгенографич. данных a 1080,84, c 681,78 Å, из нейtronографич. a 1081, c 681 пм, ф. гр. $P\bar{4}2_1c$. Аналогично высокот-рной кубич. форме (II), в I ионы PO_4^{3-} образуют плотнейшую кубич. упаковку, октаэдрич. и тетраэдрич. пустоты к-рой содержат ионы Na^+ по принципу СТ криолита или Li_3Bi . Однако, в отличие от II ориентация анионов PO_4^{3-} в I упорядочена. Расстояния Р—О из рентгено- и нейtronографич. данных соотв. 148—156, 153—156 пм. Расстояния Na—O по данным обоих методов в пределах 222—280 пм.

М. Б. Варфоломеев

Na₃PO₄

1991

21 Б3121. Процессы фазообразования в системе
 $\text{Na}_2\text{O}-\text{Nd}_2\text{O}_3-\text{P}_2\text{O}_5$ / Мезенцева Л. П., Бондарь И. А.
// Тез. докл. 8 Всес. шк. по актуал. пробл. физ. и хи-
мии редкоземел. соед. / Кол. науч. центр АН СССР.—
Апатиты, 1991.— С. 50.— Рус.

Методами рентгенографии, кристаллооптич. и хим.
анализа, а также высокот-рной микроскопии изучены
фазовые соотношения в системе $\text{Na}_2\text{O}-\text{Nd}_2\text{O}_3-\text{P}_2\text{O}_5$
при 700 и 800° С. Установлено образование, соединения
 $\text{Na}_3\text{Nd}(\text{PO}_4)_2$ (I) и двух эвтектик с составом 33 и 90%
 Na_3PO_4 (II) с т. пл. 1480 и 1100° С. II плавится при
1580° С и претерпевает полиморфное превращение при
~350° С. I совершают переход из ромбич. формы в фор-
му типа глазерита при 1060° С. Кроме I, в системе так-
же образуется двойная соль $\text{NaNd}(\text{PO}_4)_4$. Л. Г. Титов

(T_m, T_{E2})

X. 1991, N 21

Na3PO4

2000

F: Na3PO4 (*структура*)

P: 1

01.14-19Б2.20. Структура и электропроводность монокристаллов Na[3]PO[4] / А. А., Быков А. Б., Верин И. А., Голубев А. М., Иванов-Шиц А. К., Нистюк // Кристаллография. - 2000. - 45, N 6. - С. 982-986. - Рус.

Раствор-расплавным методом выращены монокристаллы Na[3]PO[4], принадлежащ комнатаой температуре к кубической модификации. Уточнен параметр элемента ячейки а 7.424(1) Å и координаты атомов для пр. гр. Fm3m. Электропроводно монокристаллов составляет $2 \cdot 4 \cdot 10^{-3}$ Ом⁻¹ см⁻¹ при 300°C. Электронная составляющая проводимости на три порядка меньше ионной.

Структура

Na_3PO_4

F: $\text{Na}_3\text{PO}_4\text{-Na}_2\text{SO}_4$ (фазовая диаграмма, уточнение)
P: 1 = 2002

03.06-19Б3.76. Поведение фазового перехода и равновесные фазовые отношения проводящей системе $\text{Na}_3\text{PO}_4\text{-Na}_2\text{SO}_4$, проводимость которой обусловлен легкоподвижными ионами. Phase transition behaviour and equilibrium phase relations in the fast-ion conductor system $\text{Na}_3\text{PO}_4\text{-Na}_2\text{SO}_4$ / Harris Richard J., Putnis Andrew, Kockelmann Winfried // Phys. Chem. Chem. Phys. Journal of European Chemical Societies. - 2002. - 4, N 14. - С. 3252-3259 Англ.

С использованием комбинации дифракции рентгеновских лучей, порошковой диф нейтронов и молекулярно-динамического моделирования исследовано поведение фазового перехода и равновесные фазовые отношения в системе $\text{Na}_3\text{PO}_4\text{-Na}_2\text{SO}_4$, проводимость в которой обусловлена легкоподвижными ионами. Уточнена равновесная фазовая диаграмма системы и получена важная информация о кинетике фазового перехода и присутствии метастабильных промежуточных фаз. Библ. 18.

Na_3PO_4

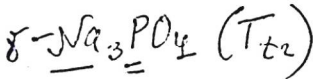
F: Na_3PO_4 - GaPO_4 (T_{c2}) +1

2002

03.07-19Б3.66. Фазовые отношения в системе
 Na_3PO_4 - GaPO_4 / Зимина Г. Сливко Т. А.,
Смирнова И. Н., Спиридовон Ф. М., Фомичев В. В.,
Зайцева М. (117864, ГСП-7, г. Москва В-485, ул.
Профсоюзная, 90, publish@naukaran. r Ж. неорган.
химии. - 2002. - 47, N 10. - С. 1694-1698. - Рус.

Методами рентгеновского анализа, ИК- и КР-спектроскопии изучены фазовые отношения в системе
 Na_3PO_4 - GaPO_4 (изотермы при 750 и 900рС).

Установлен характер взаимодействия компонентов, выделены и идентифицированы образующие фазы. Обнаружены область твердых растворов на основе высокотемпературной модификации фосфата натрия $\text{Na}_{[3-x]}\text{Ga}_{[x/3]}' \text{КВАДРАТ}' [2x/3]\text{PO}_4$ (пр. гр. Fm широкая область стеклообразования. Анализ ИК- и КР-спектров выделенных фаз указывает на структурную неэквивалентность позиций тетраэдров PO_4 в твердом растворе и на статистическое распределение их в области стеклообразования Библ. 10.



2002

F: Na₃PO₄-Na₂SO₄ (система, сб-ба)

P: 1 =

04.01-19B3.51. Исследование системы сульфат натрия - фосфат натрия. Characterization of the sodium sulfate-sodium phosphate system / Cole Ren S., Frech Roger // J. Mol. Struct. - 2002. - 643, N 1-3. - С. 101-107. Англ.

Стабилизация 'гамма'-Na[3]PO[4] посредством Na[2]SO[4] происходит в широк интервале составов твердых растворов в пределах от 20% до более, чем 60% Na[2]SO[4]. Система Na[3]PO[4]-Na[2]SO[4] претерпевает сложные структурные изменения, которые не могут быть полностью исследованы с использованием какого-либо одного метода. Различные составы исследованы методами спектроскопии КР, ИКС, ДСК и порошковой дифракции рентгеновских лучей. Меня колебательной спектроскопии получено хорошее описание структурных изменений частности локальных структурных изменений, происходящих по мере изменения состава.

Na₄P₂O₇

2002

F: Na₄P2O₇ ΔH_{tr}

P: — Г 04.02-19Б3.63. Исследование фазовых превращений в Na[4]P[2]O[7] с помощью комбинационного рассеяния и измерений ионной проводимости. Ionic conductivity and Raman investigations on the phase transformations of Na[4]P[2]O[7] / Gangadharan Raje, Kalaiselvi Jayaraman, Shanmukaraj Devaraj, Palanivel Ba Mohan Sriramulu, Murugan Ramaswany // J. Alloys and Compounds. - 2002. N 1-2. - С. 95-100. - Англ.

На основе измерений в области температур 25-600°C ионной проводимости и спектров и термокомб. рас. изучены структурные изменения и фазовые превращения анидридного пирофосфата натрия Na[4]P[2]O[7]. Спектральные изменения, наблюдаемые в спектрах термокомб. рас., показывают постепенное превращение Na[4]P[2]O[7] из низкотемпературной фазы 'эпсилон'

ΔH_{tr}

в высокотемпературную 'альфа' при повышении температуры от 75 до 410рС до возникновения основно ориентационной неупорядоченности при 420рС и малых структурных изменений 511, 540 и 560рС. Определены энергии активации и изменение энталпии при превращениях. Обсуждается возможный механизм температурной зависимости проводимости $\text{Na}_4[\text{P}_2\text{O}_7]$.